

Ed Kagurine

Cd

B92 - 2408-VI

1920

(E cocci)

Fres E.

Ann. Physik, 1920,

63 1-27

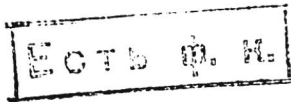
~~V~~-655

1925  
BGS VI 2456

Cd<sub>2</sub> Zn, ν, E<sub>CoM</sub>.

Salis

Ann. Physik 76, 145 (1925)



Circ. 500

J F

commerce 2405

1928

Cd

J. M. Walter, S. Barratt

cheap

71, A , 201-210

Cd (2)

BGP-2473-IV

1929

Winans J.C.

(b.)

Phil. Mag., 1929, 7

555 - 65

Cd

BGS-2399-V 1930

Brode R.B.

(2)

Phys. Rev. 1930

35 N504-8

*Col*

V 1121

1933

Cd ( Te)

Kalinowska E.

Acta Phys. Polonica 1933, 2, 111-17  
(In German)

"The excitation of atomic lines on  
molecular absorption in cadmium vapor"

Есть ф. к.

J

F

CA., 1935, 3597<sup>9</sup>

Cd(l) (D)

V 4470

1933

Ruhr H. and Arphenius S  
1. Z. Physik 62, 715 (1933)

22

Circ. 500

10.



qp

1954

Cd

Anbrey P.

Altshuller

J. chem. Phys. 22, 765-6

Изучение явлений в  
согласии с теорией Cu, Zn,  
Al, Ag. Cd, Hg, Ba, In, Fl

Cd 1.9; 1.7;

CA 48 10422d

см Zn.

In, Cd, Hg W.R.S Gardon,

1955

A. Ragaratnam.

Proc. Phys. Soc, A68, N-12, 1107-1112.

Проблема рентгеновской гибкости сферических In, Cd и Hg

P.T.P-1957-2437

Cd, Hg ( атомные константы <sup>V 1094</sup> ) 1956

Burns K., Adams K.B.

J.Opt.Soc. America, 1956, 46, N 2,  
94-99

Уровни энергии и данные волн  
спектральных линий естественного кадмия  
и кадмия - II4

РХ., 1957, N2, 3441

10

F  
ЕСТЬ Ф. К.

Cd I

J.H.Wise, K.L.Vander Sluis

1956

JOSA, 46, 18, 587.

Синтез.

Февраль. Сообщение об изучении структуре ядер кадмия, бора. Стандартные данные волн.

1957

A-468

Y, Zr, Nb, Mo, Tc, Rn, Rh, Pd, Ag, Cd, In  
(Vi, J)

Catalan M.A., Rico F.R.  
An. Real. Soc. esp. fis. y quim., 1957, A53,  
N 3-4, 85-94.

Серии и потенциалы ионизации в спектрах  
III элеменотов группы палладия.

RX., 1959, N6, 18142

J, Est/F.

CaT Ренкин Н.П., Репасов П.П. 1960

Ошибки и аномалии

1960, 9, № 5, 680-682

Процедурные ошибки  
среди которых можно выделить  
две: Cell I и Zn I

cell Zn I, II.

Cd

81

B9P - 3170 - X, IX, VI 1963

Extension of term analysis for cadmium. H. Danker (Univ. Kiel, Ger.). *Spectrochim. Acta* 19(9), 1443-8(1963) (in German). By the observation of some forbidden transitions in Cd in strong elec. fields, it was possible to identify some hitherto unknown  $^3F$ ,  $^3G$ ,  $^3H$ ,  $^3J$ , and  $^3K$  terms of Cd. The newly found terms, their quantum defects ( $\Delta\sigma$ ), and relative shifts ( $A$ ) are tabulated. Plots of  $\sigma$  dependence on  $\bar{\nu}$  are also included. Exptl. details are given.

M. J. Kland

C.A. 1964. 60. 4

36076

1963

ЗР-3170-X; XV; VI

Cd

Спектр

8 Д187. Дальнейший анализ термов кадмия. Дополнение N. Erweiterung der Termanalyse von Cadmium. «Spectrochim. acta», 1963, 19, № 9, 1443—1448 (нем.; рез. англ.)

Спектр Cd возбуждался в разрядной трубке с полым катодом так, что между плазмой и стенками трубы возникало сильное электрическое поле, способствующее появлению в изучаемом спектре запрещенных линий. Эти запрещенные переходы использовались для идентификации ранее неизвестных уровней  $^3F^0$ ,  $^3G^0$ ,  $^3H^0$  и  $^3K^0$  Cd. Вычислены энергии уровней, величины квантового дефекта, а также определены величины относительного сдвига, вызванного электрическим полем, этих уровней. Н. Яшин

оф. 1966. 8 №

3446-VI

1963

He (Te)

Cd

Sequier J.

C.r.Acad. sci., 1963, 256, N 8, 1703-04

Spectres d'émission infrarege du cadmium  
et de l'hélium.

PJX, 1964, 7Б20  
J.

Есть оригинал.  
Orig.

Cd<sup>114</sup>

Bruce C.F.

1964

(λ)

"3-e séss. Com. consult. définit.  
mètre, Com. internat. poids et  
mesures. 1962". Paris, 1964, 115-7.

Duurzaam houten ingemaakte

Kr<sup>86</sup>, Mg<sup>198</sup>, Cd<sup>114</sup>.

(c.u. Kr<sup>86</sup>)

Cd  $^{114}$

Engelhard 8.

1964

(1)

"3-e séss. Com. consult. définit.  
mètre, Com. internat. poids et  
mesures, 1962", Paris, 1964, 108-111.

Определение грави бары в  
бакинской метеостанции  
 $Kr^{86}$ , Cd  $^{114}$ , Mg  $^{198}$ .  
(см. Kr  $^{86}$ )

Cd

1964

6 Д23. Значения  $g_j$  для уровня  $(5s5p)^3P_1$  Cd и для уровня  $(6s6p)^3P_1$  Hg, измеренные методом двойного резонанса в сильных полях. Kohler R., Thaddeus P. 'g<sub>j</sub> of the  $(5s5p)^3P_1$  level of Cd and the  $(6s6p)^3P_1$  level of Hg by high-field double resonance. «Phys. Rev.», 1964, 134, № 5A, 1204—1209 (англ.)

Методом оптич. двойного резонанса в сильных магн. полях определено значение  $q_j$  для уровня  $(5s5p)^3P_1$ -четных изотопов Cd (1,499846) и для уровня  $(6s6p)^3P_1$ -четных изотопов Hg (1,486094). Резонанс наблюдался точно при частоте 24 кМгц в магн. полях  $\sim 11430$  гс. В таких полях зеемановская энергия составляет  $\sim 10^{-3}$  от тонкой структуры триплетных термов конфигурации  $(nsnp)$  и переходы  $\Delta m = \pm 1$  расщеплены на 9,51(7) гс в Cd и на 2,99(7) гс в Ag. Это расщепление составляет несколько ширин линии для Ag и во много раз превосходит ширину линии для Cd. Однако среднее значение поля для переходов  $\Delta m = \pm 1$  не зависит от поправок второго порядка и позволяет с высокой точностью определить значения  $g_j$ .

Т. Ребане

Ф. 1965. 6 №



1964

*Spaur.*  
*enlarged*  
*current*  
*Cd*

Wavelength shift of lines in the visible region of the  $^{114}\text{Cd}$  spectrum, owing to the pressure of argon in a lamp with heated electrodes. Yu. P. Efremov and S. N. Ivashevskii. *Optika i Spektroskopiya* 17(4), 620-2(1964)(Russ). The pressure of Ar in the lamp was varied from 0.5 to 40 mm., while the temp. and c.d. were kept const.: ( $T \cong 260^\circ$ ,  $j \cong 1 \text{ amp./mm.}^2$ ). The magnitude of the shift,  $\delta_\epsilon$ , was detd. from the interference rings of the  $\text{Cd}^{114}$  red line at  $0.644 \mu$ . In the interval of pressures from 0 to 40 mm., the coeff.  $k' = 0.7 \times 10^{-8} \mu/\text{torr}$ ; at 0-10 mm., the values for  $k'$  accorded with the known data (Baird, *et al.*, CA 59, 13463c).

A. P. Kotloby

C.A.1965.62.6  
6025a

*Col*

*T*

*1964*

5 Д212. Время жизни и сверхтонкая структура  $(5s5p)^1P_1$ -состояния кадмия. Lugio Allen, Novick Robert. Lifetime and his of the  $(5s5p)^1P_1$  state of cadmium. «Phys. Rev.», 1964, 134, № 3A, 608—614 (англ.)

Измерено время жизни и сверхтонкое расщепление состояния  $(5s5p)^1P_1$  кадмия методом пересечения уровней. Обнаружено сужение сигнала пересечения уровней в нулевом поле, связанное с когер. диффузией излучения. Для времени жизни состояния получена величина  $1,66 \cdot 10^{-9}$  сек., которая сопоставлена с данными других авторов. Константа дипольного взаимодействия  $A(^1P_1)$  для Cd<sup>III</sup> оценена в  $186 \pm 4$  мгц. Это значение сопоставлено с теоретическим —  $152 \pm 25$  мгц, вычисленным исходя из известного времени жизни состояния и интервалов сверхтонкой структуры термов  $^3P_2$  и  $^3P_1$ .

*оф. 1965. 58*

Cd<sup>114</sup>

Masui T.

1964

"3-e séss. Com. consult définit. mètre, Com. internat. poids et mesures. 1962"; Paris, 1964, 155-156.

Strena bouson & Balazyne  
izotopów Kr<sup>86</sup>, Hg<sup>98</sup>, Cd<sup>114</sup>.  
(czu. Kr<sup>86</sup>)

Cd "4

Rowley W. R. Es. 1964

" 3-e Séss. Com. consult.  
" définit. mître. Com. inter-  
nat. procès et mesures. 1962  
Paris, 1964, 99-103.

Myopetraea grecu house ig-  
myopetraea Kr. <sup>36</sup> Cd "4, Kg <sup>198</sup>  
(c.u. Kr)

1965

Cd

Aleksandrov S. B.,  
Khromov V. V.

Optika i Spektroskopiya, 18 (4),  
545-51.

Application of the method  
of beats to the measurement  
of the Stark splitting of  
the  $5^3P_1$  level of cad-  
mium.

1965

1 Д226. Продолжительность жизни возбужденного состояния кадмия по резонансной линии 2288 Å. Spitzer Marghe. Durée de vie de l'état excité dans le cadmium par la ligne de résonance 2288 Å. «C. r. Acad. sci.», 1965, 260, № 14, 3907—3909 (франц.)

Измерялось время жизни состояния  $6^1P_1$  кадмия по деполяризации в магн. поле линии 2288 Å. Получено значение  $1,11 \cdot 10^{-9}$  сек.

п. 1966.

170

3387-VI

1965

Ei(Be, Mg, Ca, Sr, Ba, Zn, Cd, Hg)

Szasz L., McGinn G.

J.Chem., phys, 1965, 42, N 7, 2363-2370

Energy-term calculations with Hellmann-type  
pseudopotential.

PJF, 1965, 11D13.

J.

Cf.

Dubey W.W.

1966.

Native 1966, 210, 15036, 624-25

Cleopatra would. about  
Kafildi in Yatka

Cu Zn, III

Cd

1986

7 Д358. Исследование положительного столба разряда в парах кадмия и определение эффективных сечений уровня  $6^3S_1$ . Пенкин Н. П., Редько Т. П. «Оптика и спектроскопия», 1966, 20, № 2, 197—208

оп. 1966. 72

Cd

1966

Nonequilibrium population of hyperfine sublevels of the  $^6S_1$  term of the Cd atom. Yu. I. Turkin. *Optika i Spektroskopiya* 20(4), 736-8(1966)(Russ). See CA 64, 2874a. A. L. Skup

C.A. 1966. 65-3  
31799

Cd

Мурман 10. II. 1966

Бюл. Учен., 1966, XX, № 4, 736

repertus *locus* *gammareus*  
*Charybdis* *nudibranchis*  
тиес 6°, area Cd.

*pubescens* *crenata* *obtusa*  
*gigantea* *multifasciata*.

Cd

Западный Урал,

1966.

Ильин О.Б.

ИС-эксперимент и Геор.

Физ. 1966, № 4, 890-896

Возбуждение атомов  
ионизирующим излучением.  
шв-нов.

Син. Зн., III

1966

VI-4522

J(Sm,En,Cd,Dy,Er,Tu,Yb)

Zmbov K.F., Margrave J.L.

J.Phys.Chem., 1966, 70, N9, 3014-17.

The first ionization potentials of samarium, europium, gadolinium dysprosium, holmium, erbium, thulium, and ytterbium by the electron-ionpact method.

RX., 1967, 21 82 J,

F

Сод

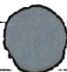
Барановский В.И., 1967  
Николаевский А.Б.

теор и экспр. химия,  
3, № 4, 527

γ

VI-5779

Поменялись позиции  
взаимодействующих со-  
ставляющих гидратов  
второго переходного и-  
нтервала.



(ав. 1) III

Cd

1967

(12 Д54) Изучение метастабильных уровней  $5^3P_2$  кадмия и  $4^3P_2$  цинка, возбуждаемых электронным ударом.  
Barrat J. P., Barrat M. Mme, Duclos J. Etude des niveaux métastables  $5^3P_2$  du cadmium et  $4^3P_2$  du zinc excités par bombardement électronique. «Colloq. internat. Centre nat. rech. scient.», 1967, № 162, 139—142. Discuss., 142 (франц.)

Метастабильные уровни  $5^3P_2$  Cd и  $4^3P_2$  Zn возбуждались электронным ударом соответственно в парах Cd и Zn. С помощью измерений методом магн. резонанса найдены следующие величины для отношений факторов

8 · 1967 · 12

14

Ланде:  $\frac{g(\text{Cd } 5^3P_2)}{g(\text{Cd } 5^3P_1)} = 1,00056 \pm 0,00010$  и  $\frac{g(\text{Zn } 4^3P_2)}{g(\text{Zn } 4^3P_1)} = 1,00031 \pm 0,00015$ . Экспериментально получены величины сечений деполяризации метастабильных атомов при столкновении с соответствующими атомами в норм. состоянии:  $\sigma(\text{Cd } 5^2P_2) = (31 \pm 5) \cdot 10^{-16} \text{ см}^2$  и  $\sigma(\text{Zn } 4^3P_2) = (19 \pm 5) \cdot 10^{-16} \text{ см}^2$ . Производится сравнение полученных величин с теоретическими и с величинами, полученными в других экспериментах.

Г. К.

Cd

2 Д218. Изучение резонансной флуоресценции в кадмии: влияние модуляции и измерение времени жизни.  
Dodd J. N., Sandle W. J., Zissermann D. — Study of resonance fluorescence in cadmium: modulation effects and lifetime measurements. «Proc. Phys. Soc.», 1967, 92, № 2, 497—504 (англ.)

1967

τ

Развита полуклассич. теория, описывающая модуляцию света, испускаемого атомами в постоянном магн. поле и одновременно оптически возбуждавшимися. Получено общее выражение для интенсивности модулированной флуоресценции ( $M\Phi$ ), затухающей по экспоненц. закону. Пары Cd облучались прямоугольными импульсами длиной 200 нсек. с интервалами 20  $\mu$ сек. от кадмневой лампы с длиной волны излучения  $\lambda=3261$  Å. Изучалось затухание флуоресценции для триплетной резонансной линии Cd. Наблюдалась  $M\Phi$  за счет когерентности излучения между зеемановскими подуровнями с  $m=\pm 1$ . Предложены методы прямого измерения времен жизни подуровней.

09.1968.28

Cd

1967

УЗД143. Спектроскопия атомов металлов, внедренных в низкотемпературные матрицы из инертных газов: cadmий и цинк. Duley W. W. The spectroscopy of metal atoms trapped in low-temperature matrices of the inert gases: cadmium and zinc. «Proc. Phys. Soc.», 1967, 91, № 4, 976—983 (англ.)

Получены абсорбционные спектры (1600—3500 Å) тонких пленок Ar, Kr и Xe ( $T \geq 4,2^\circ\text{K}$ ), содержащих в виде примесей атомы Cd и Zn ( $< 1\%$ ). Во всех спектрах, при низких конц-иях Cd или Zn наблюдается сильная полоса с триплетной структурой, соответствующая резонансному переходу  $ns^2 1S^0 \rightarrow nsnp^1P_1^0$ . По мере увеличения конц-ии Cd или Zn в спектрах появляются дополнительные полосы, приписываемые димерам  $\text{Cd}_2$  или  $\text{Zn}_2$ . Обнаружено также, что с коротковолн. стороны  $^1P_1^0$ —полосы наблюдается полоса с четкой дублетной структу-

09.1968. ЗН

18

рой, происхождение которой, по-видимому, связано с ме-  
тастабильным триплетным состоянием Cd или Zn. При-  
ведена таблица длин волн зарегистрированных полос в  
системах Cd—Ar (Kr, Xe) и Zn—Ar (Kr, Xe) при разных  
т-рах ( $4,2$ ,  $10 \pm 5$ ,  $25 \pm 5$ ,  $40 \pm 10$ ,  $60 \pm 10^{\circ}$  K) и соотноше-  
ниях матрица/атомная примесь ( $M/A = 2000, 1000, 600,$   
 $500, 400, 300, 200$  и  $100$ ). Библ. 19. В. И. Мосичев

Cd

1967

69102k The spectroscopy of metal atoms trapped in low-temperature matrixes of the inert gases: cadmium and zinc. W. W. Duley (Imperial Coll., London). *Proc. Phys. Soc.* **91(4)**, 976-83(1967)(Eng). Absorption spectra in the wavelength region 1600-3500 Å. have been obtained for thin films of frozen Ar, Kr, and Xe contg. low concns. ( $\leq 1\%$ ) of atomically dispersed Cd and Zn. The spectra of lightly doped samples show only a strong band with triplet structure in the vicinity of the impurity atom  $ns^2 ^1S_0 - nsnp^1P_1$  resonance transition. As the concn. of Cd or Zn is increased, a variety of addnl. spectral features appear. Many of these bands may be attributed to the dimers Cd<sub>2</sub> or Zn<sub>2</sub>. An intense band with well-defined doublet structure was present in most samples on the short-wavelength side of the  $^1P_1$  band. It is likely that this band is due to a transition starting from a metastable triplet state of the Cd or Zn impurity.

RCPN

+1

C.A: 1967. 07. 11

田

Cd I

Kaucrevicius f.

1967

Liet. fiz. Rinkinys, Liet.

TSR Mokslo Akad., Liet.

TSR Aukst. Mokyklos,

f, N 2, 321.

Probabilities of intercombination transition in series of Zn I, Cd I, and Pb I atoms. [See, Zr(I) II]

Cd

Pebay - Peyroula Y.C.  
Chenevier ll., Gaillot G.

1987

Colloq. Int. Centre Nat. Rech.  
Sci., n<sup>o</sup> 162, 71-92.

Electronic bombardment  
as a method for studying  
excited atomic levels.

(Acc. Hg)

1967

Cd

4Д44. Оценка эффективных сечений прямой и ступенчатой ионизации атома кадмия электронным ударом.  
Пенкин Н.Н., Редько Т.П. «Оптика и спектроскопия», 1967, 23, № 4, 650—651

С помощью результатов, полученных авторами ранее, проведена оценка сечений прямой ( $Q_{\text{пр}}$ ) и ступенчатой ( $Q_{\text{ст}}$ ) ионизации атома кадмия электронным ударом. При расчетах предполагалось, что  $Q_{\text{ст}} \sim V - V_{ik}$ , где  $V$  — потенциал, определяющий энергию налетающего электрона, а  $V_{ik}$  — потенциал ионизации с  $k$ -го уровня. Принималось также, что ступенчатая ионизация идет в основном с уровнем  $5^3P_{0,1,2}$ . Вычислено характеристич. время монополярной диффузии ( $\tau$ ). Найдено, что  $\tau$  слабо зави-

сит от силы разрядного тока и линейно растет с ростом давления паров кадмия от 80 до 280 мсек. в области изменения давления от  $1,0 \cdot 10^{-2}$  до  $7,0 \cdot 10^{-2}$  мм рт. ст. Для оценки абр. значений сечений авторы воспользовались измерениями времен жизни ионов, сделанными в послесвечении кадмневого разряда, введя при этом поправку на остывание электронов в послесвечении. Получены следующие результаты:  $Q_{\text{пр}} = 2(V - V_i) \cdot 10^{-17} \text{ см}^2$ ,  $Q_{\text{ст}} = \sum Q_i \cdot (5^3 P_{0,1,2}) = 1,4(V - V_{ik}) \cdot 10^{-15} \text{ см}^2$ . Отмечено, что  $Q_{\text{пр}}$  близко к соответствующему значению для атома ртути.

Е. А. Пшеничнов

Cd

1984

11 Д121. Сечения неупругих столкновений электронов  
с атомами Cd. Vesnichëva G. A., Penkin N. P.,  
~~Rod'ko T. P.~~ Cross sections for inelastic collisions of  
electrons with cadmium atoms. «V Internat. Conf. phys.  
electron. and atomic collis., Leningrad, 1967. Abstracts  
papers». Leningrad, 1967, 360—361 (англ.)

оп. 1980 · 118

1968

Cd, Hg

46157j Photoionization of cadmium and mercury vapors.  
Berkowitz, J.; Lifshitz, C. (Argonne Nat. Lab., Argonne, Ill.).  
*Proc. Phys. Soc., London, At. Mol. Phys.* 1968, [2] 1(3), 438-40  
(Eng). A windowless vacuum uv monochromator was used for  
the study of the photoionization curves of Cd and Hg. The  
energy range covered was from the onsets of ionization to 19 ev.  
and 17.7 ev. for Cd and Hg, resp. Several autoionization peaks  
were observed. These correspond to excitations of inner *d* elec-  
trons of the neutral atoms. Oscillator strengths are given for  
the autoionization peaks in Cd.

RCBS

+1

use

C.A. 1968. 69. 12



Cd

Khadjavi A. u. gp. | 1968

Phys. Rev., 167, N1, 128

Штарт - зоряк в боз-  
сундукових системах  
ex RB, Cs, Cd, Hg.



1968

Cd.

Shirk, Y. S.,  
Bass A. M.

checkup b  
manuscr.

J. Chem. Phys., 49(11),  
5156

Matrix - isolation spectra  
of discharge - sputtered  
metals.

(Cu, Cu) III

Zn I, Cd I, Hg I (e<sub>i</sub>) 6  $\tilde{\nu}$  6340 1969

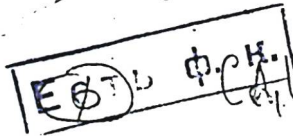
Gardon W.R.S., Comerade J.P.,

Astrophys. J., 1969, 155(2), (Pl. 1), 667

Absorption spectra of Zn I, Cd I,  
and Hg I in the vacuum ultra-  
violet.

7.

10



1969, Vol. 18, 82685;

1969

Cd(vap)

fmn

yqpc

M. L.

cycle.

92021d Absorption cross-section measurements on the vacuum ultraviolet spectrum of cadmium vapor. Marr, Geoffrey V.; Austin, J. M. (Univ. Whiteknights, Reading, Engl.). *Proc. Roy. Soc., Ser. A* 1969, 310(1500), 137-49 (Eng). New at. cross-sectional data are reported in graphical and tabular form from the ionization threshold at 1378 down to 525 Å. The value of the photoionization cross-section at the threshold is  $0.32 \pm 0.6$  falling to 0.1 megabarns in the region of 1200 Å. and thereafter is dominated by autoionizing transitions. Configuration interaction between the levels of the  $(4d)^0(5s)^15p$  multiplet is observed which causes the  $^3D_1$  level to interact strongly with the wings of the  $^3P_1$  level. The oscillator strengths for the  $(5s)^2 ^1S_0 - (4d)^0(5s)^1np ^1P_1$ ,  $^3P_1$  and  $^3D_1$  transitions converging on the  $^2D_{5/2}$ ,  $^3D_{5/2}$  ionic states are reported and an oscillator strength sum approaching unity is observed. Individual line oscillator strengths are compared with Hartree-Fock calens. of Wilson (1968).

RCPP

C. A. 1969. 40. 20

(+) 6 fm



1969

Cd.

Merrithew R. B. et al.

Chemist

RP

Reciprocate

Ec

J. Mol. Spectrosc., 1969,  
29(1), 54.

Absorption spectra of  
metal atoms in solid  
xenon:



(See. vi) III

Hg, Cd (copper, b)  
magnetax) 6  
VI 6743 1969

Merrithew R.B.

Dissert. Abstr. B 1969, 29 (10), 3841

Absorption spectra of mercury  
and cadmium in solid rare  
gases

KO

CA, 1969, 21, w12, 55202p

1940

Cd

Чаркин О.И.,  
Демческа М.Е.

5, Аē

Строение слоевого и  
квазим. зернист. Киев, "Наук.  
гусека", 1940, 163.

"

(ав. РБ) III

Ce, Cd, Pb, Ni, Mg, Pt, Au, (уаравесъ)  
Mo, Ti, Co, Ta, Nb, Cu, Ag (изоназена,  
и, pacrem)

Migault A., № 7336 14

C. R. Acad. Sci., 1970, B270, № 3, 215-18 (ппп.)

Semianalytical determination of the  
Gruneisen coefficient for 14 metals  
Applications to the determination  
of shock compressibility parameters.

5 20

CA, 1970, 42, N22, 1150314

Cd

VI- 7883

1971

16 Б99. Электронная спектроскопия с применением ионизации Пенningа. III. Ионизация кадмия. Сег-  
м á k V. Penning ionization electron spectroscopy. III. I-  
onization of cadmium. «Collect. Czech. Chem. Communs»,  
1971, № 2, 948—950 (англ.)

При ионизации атомов кадмия метастабильными ато-  
мами неона (с энергиями 16,61 и 19,81 эв) и гелия  
(16,71 и 20,61 эв) получены кривые распределения энер-  
гии электронов в атоме кадмия. Определены потенциа-  
лы ионизации (ПИ) основных и возбужденных состоя-  
ний:  $^2S_{1/2}$  (ПИ — 8,99 эв),  $^2P_{1/2}$  (14,5),  $^2P_{3/2}$  (14,9),  
 $^2D_{5/2}$  (17,6),  $^2D_{3/2}$  (18,4),  $^2D_{5/2}$  (20,2), а также попереч-  
ные сечения ионизации  $\sigma(10^{-15} \text{ см}^2)$  этих состояний:  
 $\sigma(^2S) = 2,6$ ,  $\sigma(^2P) = 0,5$ ,  $\sigma(^2D) = 1,3$ . Значения  $\sigma(^2D_{5/2})$  боль-  
ше, чем для  $^3P_{3/2}$ , что позволяет использовать переход  
 $^2D_{5/2} \rightarrow ^2P_{3/2}$  в кадмии для получения излучателя с дли-  
ной волны 4416 Å.

М. Туркина

X. 1971.16

Cd

1941

117758x Penning ionization electron spectroscopy. III.  
Ionization of cadmium. Cermak, Vladimir (Cesk. Akad. Ved,  
Prague, Czech.). *Collect. Czech. Chem. Commun.* 1971, 36(2),  
948-50 (Eng). The ionization into the  $\text{Cd}^+ {^2S_{1/2}}$  ground state  
and the excited  ${^2P_{1/2}}$  and  ${^2P_{3/2}}$  states by  $\text{Ne}^*$  atoms, and into the  
 ${^2D_{5/2}}$ ,  ${^2D_{3/2}}$  and still higher  ${^2D_{1/2}}$  states by  $\text{He}^*$  atoms is demon-  
strated. The ionization potentials and individual ionization  
cross sections of Cd into corresponding excited states are given.  
The cross sections for the ionization into the  ${^2D_{5/2,3/2}}$  states is  
higher than those into  ${^2P_{3/2,1/2}}$  states or the higher  ${^2D_{1/2}}$  state.  
The cross section for the ionization into the  ${^2S_{1/2}}$  ground state is  
much higher than that into the excited states. E. Erdos

C.A. 1971. #4. 22

Cd I, II

1971

спектр

1) 1 Д301. Измерения спектра CdI и CdII на автоматическом компараторе. Hoekstra R., Slooten R. Automatic-comparator measurements of the spectrum of GdI and GdII. «Spectrochim. acta», 1971, B26, № 6, 341—348 (англ.)

99, 1972, 12

В области 2468—8752 Å промерены спектры излучения CdI и CdII на автоматич. компараторе с применением ЭВМ. Спектры возбуждались в безэлектродном ВЧ-разряде и регистрировались на 9-м спектрографе нормального падения. Измерены длины волн около 18 000 линий спектров CdI и CdII; линии спектра Th использовались в качестве реперов. Точность измерения длии волн составила  $\sim 0,002$  Å.

Резюме

Cd

1979

A-1675

Kaiser H.J. et al.

"Z.Phys.", 1971, 243, N1, 45-59.

(γ)

• (cur. Li; III)

Cd

1971

11 Д49. Автоионизационный спектр кадмия при возбуждении электронным ударом. Wickes J. B. P., Ross K. J., Newell W. R. Autoionization spectrum of cadmium vapour by electron impact. «J. Phys. B: Atom. and Mol. Phys.», 1971, 4, № 4, L26—L28 (англ.)

Ei

По измерению энергетич. распределения электронов, получаемых при автоионизации, изучены автоионизационные переходы в парах кадмия. Возбуждение системы осуществлялось моноэнергетич. электронным пучком, а измерение распределения проводилось под прямым углом к пучку. Найдены два новых автоионизационных перехода для CdII с энергией 29, 34 и 30 эв. Б. Ф. Гордиец

3. 1971. 110

1941

Cd

12959f Autoionization spectrum of cadmium vapor by electron impact. Wickes, J. B. P.; Ross, Kevin J.; Newell, W. R. (Phys. Dep., Univ. Southampton, Southampton, Engl.). *J. Phys. B* 1971, 4(4), L26-L28 (Eng). Autoionizing transitions in Cd vapor were studied by direct observation of the energy distribution of autoionized electrons when the system is excited by electron impact. Two new states were obsd. and it is thought that they correspond to transitions autoionizing into the continuum of Cd II having energies of 29.34 and 30.00 eV.

Ei

Cd 1941 452

Cd  
Catalan B., Hoareau A.,<sup>1972</sup>  
Nouzeau P., Uzan R.  
(g) Int. J. Mass Spectrom.  
Ion. Phys., 1972, 8, 181-91.

See also; 111

1972

Cd I

5 Д265. Измерение спектра поглощения паров Cd I в области 30 Å по фоновому излучению 2,5-Гэв синхротрона (Бонн). Sonnegaade J. P., Mansfield M. W. D., Pollard I., Thimm K. Absorption spectrum of Cd I vapor at 30 Å using the background radiation of the 2.5-GeV Bonn synchrotron. «Phys. Rev. A: Gen. Phys.», 1972, 6, № 5, 1955—1957 (англ.)

( $\varepsilon_i$ )

Измерены новые резонансы в спектре паров Cd I в области 30 Å. Утверждается, что это самая коротковолновая область поглощения паров металлов, измеренная оптич. методом. Приведено подробное описание эксперим. установки, а также таблицы измеренных (с точностью  $\pm 1$  Å) и вычисленных значений 5 длин волн Cd I. Для измерений использовался 2,5-Гэв синхротрон, установленный в Боннском университете. Расчеты длин волн по методу Хартри—Фока показали, что резонансы связаны с переходами из 3d-оболочки, хотя в некоторых случаях расхождение в измеренных и вычисленных длинах волн было больше ожидаемого. Библ. 16.

В. П. Шевелько

Ф. 1973 № 5

1972

Cd I

145843b Absorption spectrum of cadmium (Cd I) vapor at 30 Å using the background radiation of the 2.5-GeV Bonn synchrotron. Connerade, J. P.; Mansfield, M. W. D.; Pollard, I.; Thimm, K. (Eur. Space Res. Inst., Frascati, Italy). *Phys. Rev. A* 1972, 6(5), 1955-7 (Eng). New resonances were obsd. in the absorption spectrum of neutral Cd vapor at wavelengths around 30 Å. These are the shortest-wavelength metal-vapor absorption features recorded optically. The 2.5-GeV electron synchrotron at Bonn University was used as a background source of continuous radiation. Hartree-Fock calcns. enabled identification of the resonances as caused by excitation from the 3d shell, although differences between computed and obsd. wavelengths were somewhat larger than expected.

(E<sub>i</sub>)

C.A. 1972. 77, N22

Cd I

1972

Martin W.C. et.al.

"J.Opt.Soc.Amer."

1972, 62, N12, 1488-1492.

расчет  
автоматич.  
уровней

(c.u. Zn I; III)

Cd I

L 45-323

1973

Andersen T., Srensen A

kp. ne.

"J. Quant. Spectrosc. and  
Radial. Transfer", 1973

13, N4.

Cd

1973

Poole R.T.

Leckey R.C.G. et al.

spatco.p.

Decree 1.9

Phys. Rev. B; Solid State  
1973, 8 n4, 1401-1406.

(Cd, Zn; III)



Sax. 2

Cd

1974

Berkowitz J.

(5)

J. Chem. Phys. 1974, 61,  
N1, 407-413 (ann)

(~~an~~ Zr;  $\frac{II}{I}$ )  
an. ZnCl;  $\frac{III}{I}$ )

Cd I (cnekip) #us-4697

1974

89058x Cadmium (Cd I) absorption spectrum below 30 Å.  
Connerade, J. P.; Mansfield, M. W. D.; Thimm, K. (Imp. Coll., London, Engl.). *Proc. Roy. Soc. London, Ser. A* 1974, 337(1609), 293-5 (Eng). New observations of the Cd I absorption spectrum at <30 Å|| are reported. The expt. was performed on the continuous radiation of the 2.5 GeV Bonn synchrotron as a background source. The data generally confirm the predictions of a 1-electron model but some departures from the calcd. curve of absorption against wavelength indicate the need for refinement of the theory.

C.A.1974 80.N16

Cd

1974

Roetti C., Clementi E.,  
J. Chem Phys., 1974,  
61, N5, 2062-63.

$\gamma_i$ ,  $E_i$ ,  
param

(au. Li, II)

Cd

\*45-6974

1974

2 Д270. Сателлиты в спектре фотоэмиссии атомов Cd, связанные с взаимодействием конфигураций основного состояния. Süzer Sefik, Shirley D. A. Initial-state configuration-interaction satellites in the photoemission spectrum of Cd. «J. Chem. Phys.», 1974, 61, № 6, 2481—2482 (англ.)

При исследовании спектра фотоэмиссии атомов Cd в области 6—20 эв обнаружены две слабые линии при энергиях 14,44 и 14,79 эв, соответствующие переходам в  $d^{10}p^2P_{1/2}$ - и  $d^{10}p^2P_{3/2}$ -состояния иона Cd<sup>+</sup>. Утверждается, что присутствие этих линий в спектре связано с фотоэмиссией *pr*-электрона ( $n \geq 5$ ) из состояний  $d^{10}5prp^1S$ , перемешанных с состоянием  $d^{10}s^21S$  основной конфигурации Cd. Дана краткая характеристика экспериментальной установки.

В. П. Шевелько

Ф. 1975. № 2

1974

Cd

8 Д374. Эффективные сечения и особенности электронного возбуждения атома кадмия. Совтер В. В., Запесочный И. П., Шпеник О. Б. «Оптика и спектроскопия», 1974, 36, № 5, 826—833

Исследованы ф-ции возбуждения большого числа спектральных линий атома Cd (в области 2200—8200 Å) электронным ударом от порога до 15 эв и определены абр. сечения возбуждения. Впервые определены сечения возбуждения линий, расположенных в красной и УФ-областях спектра. Установлено, что триплетные S-уровни заселяются преимущественно за счет каскадных переходов с  $^3P$ -уровней. Для уровня  $6\ ^3S_1$  доля каскадного заселения составляет 60%, а максимальное эффек-



д. 1974. № 8

тивное сечение возбуждения из основного состояния составляет  $7 \cdot 10^{-18} \text{ см}^2$ . Скорость спада эффективных сечений возбуждения линий внутри большинства серий удается описать эмпирич. ф-лой. Наиболее быстро падают сечения  $6^1S_0 - n^1P_1$  и  $6^3S_1 - n^3P_{012}$  линий. На ф-циях возбуждения спектральных линий обнаружена группа максимумов за порогом ионизации. Главной особенностью этих максимумов является стабильность их энергетич. положения: они регулярно повторяются при одинаковых значениях энергии электронов как на различных линиях одной и той же серии, так и на линиях из разных серий. Предполагается, что эти максимумы обусловлены автоионизационными состояниями кадмия.

отмечен 2436

1974

Cd (Tb)

спектр  
флуоресценции

З Б167. Флуоресценция Cd<sub>2</sub> в твердых матрицах при низкой температуре. Vreede H. J., Claridge R. F. C., Phillips L. F. Cd<sub>2</sub> fluorescence in low-temperature solids. «Chem. Phys. Lett.», 1974, 27, № 1, 1—14 (англ.)

Измерены спектры флуоресценции кадмия в тв. матрицах NH<sub>3</sub>, Xe, Kr и Ar в области 440—680 нм при т-рах 20,4 и 70 К. При  $\lambda_{возб} < 330$  нм спектр характеризуется наличием интенсивного зеленого излучения, отнесенного, по аналогии с излучением Hg<sub>2</sub> при 485 нм, к переходу  $^3\Sigma_g^+ \rightarrow ^1\Sigma_g^+$  Cd<sub>2</sub>, и максимума в красной области, связанного с Cd<sub>3</sub>. При изменении  $\lambda_{возб}$  от 320 до 365 нм наблюдается исчезновение красного излучения и двукратное увеличение пиковой интенсивности зеленой полосы, характеризующейся двумя хорошо разрешенными максимумами. Выдвинуты предположения относительно природы последних и проведено обсуждение причины отсутствия при  $\lambda_{возб}=365$  нм полосы излучения в красной области.

Р. Г. М.

2.1975. №3

60216.7689

41158

1975

Ph, TC

Cd (I)

#45-11544

Brown Charles M., Tilford S.G., Ginter  
 Marshall L. Absorption spectra of Zn I  
 and Cd I in the 1300-1750 Å region. "J.  
 Opt. Soc. Amer.", 1975, 65, N 12, 1404--  
 -1409

0553

ник

(англ.) (cii. Zn; I) III

538 539

ВИНИТИ

70307-2137

TC, MGU, Ph.

Cd 32042

1976

84-17256

Brinicombe M.S., W.M., Stacey D.N.,

Stacey V., Hühnermann H., Menzel N.

Optical isotope shifts and hyperfine  
structure in Cd. "Proc. Roy. Soc. London",  
1976, A352, N1668, 141-152 (БИТН.)

0826.01.02

780 783

ВМНИТИ

70414.1814

Ph, TC

30063

*Col(A $\bar{e}$ )*

1976  
44-18016

Burrow P. D., Micho jda J. A.,  
 Comer J. Low-energy electron scattering  
 from Mg, Zn, Cd and Hg: shape resonances  
 and electron affinities. "J. Phys. B;  
 Atom. and Mol. Phys.", 1976, 9, N 18,  
 3225-3236 (англ.) (см. Mg; II)

0851 ПМК:

808 818

842

ЕИНТИ

Cd

Chanussot J.

1976

Ei

Bull. Union Physiciens,  
1976, 40(581), 559-61.



• (see RB) III

60720.3761  
TC, Ph, MGU

Col (42529  
400002d  
сверх)  
1976

4506

Süzer Sefik, Lee S.-T., Shirley D.A.

Correlation satellites in the atomic photoelectron spectra of group-IIA and -IIB elements.

"Phys. Rev. A: Gen. Phys.", 1976, 13, N 5,  
1842-1849 (зим.)

0664 РУК

631 642 656

?

ВИНИТИ

70610.8807  
Ch,TC

37762  
Cd all

1977  
075167

Bower N.W., Ingle J.D., Jr.

Precision of flame atomic absorption measurements of arsenic, cadmium, calcium, copper, iron, magnesium, molybdenum, sodium, and zinc.

"Anal.Chem.", 1977, 49, N 4, 574-579  
(англ.)

08.92 ник

853

849 852

ВИНИТИ

70530.45

42529

1972

TC, Ph, MGU

Cd ( $\epsilon_i$ )\* 18-18404

Hansen Jørgen E. Correlation in  
the  $ns^2$   $^1S$  ground states of Ca, Sr, Ba,  
Zn, Cd, and Hg as determined by multicon-  
figuration Hartree-Fock calculations and  
photoelectron spectroscopy. "Phys. Rev.  
A: Gen. Phys.", 1977, 15, N 2, 810-813  
(англ.)

0884 ЕМК

838 844 875

ВИНИТИ

Cd

X<sup>45</sup> - 18428

1977

Fleisch N.S et al

Chem. Phys. Lett., 1977  
46, N3, 411-414 (anat.)

(3)



cc. Zn - III

Cd (I) commack 6381 1978

Mansfield M.W.D.  
et al.

enrich

norway. Proc. Roy Soc. London,  
1978, A 362, 129 - 144.

1978

CdI (I)

(Кривые  
роста)  
линейчат.  
поглощ.

10 Д472. «Кривые роста» для случая линейчатого поглощения. Мурадов В. Г. «Оптика и спектроскопия», 1978, 44, № 6, 1071—1075

Рассмотрена зависимость величины  $A = \lg(I_0/I)$  от оптич. толщины абсорбирующего слоя пара  $k_0 l$  для случая линейчатого поглощения в широком интервале изменения величины  $k_0 l$ . Для краткости ф-цию  $A = f(k_0 l)$  предлагается называть «кривой роста» для случая линейчатого поглощения. В расчетах учтена роль сверхтонкой структуры (СТС) спектральных линий. Показано, что, как и в методе полного поглощения, существуют три участка «кривой роста» для случая линейчатой абсорбции. В качестве примера приведены и проанализированы зависимости  $A = f(k_0 l)$ , рассчитанные для резонансной линии CdI 326,1 нм с учетом и без учета СТС в интервале  $1 \leq k_0 l \leq 2 \cdot 10^4$ .

Резюме

ср: 1043, N10

Cd

1979

omega 8461

(y)

Bransford L.

Rev. Roum. Phys.

1979, 24(6), p. 559-60.

Col

1980

8 Д212. Кривая эффективности ионизации кадмия  
электронным ударом. Electron impact ionisation effi-  
ciency curve of cadmium. Hashizume Akio, Wa-  
sada Nobuhide. «J. Phys. B: Atom. and Mol.  
Phys.», 1980, 13, № 24, 4865—4875 (англ.)

Методом, предложенным в работе Vogt I., Pascual C. «Int. J. Mass. Spectrom. Ion. Phys.», 1972, 9, 441, из-  
мерена эффективность ионизации Cd электронным уда-  
ром в области значений энергий электронов от порога  
ионизации до 14 эВ. Энергетич. разрешение составляло  
0,05 эВ. Найдено, что помимо известных максимумов  
на кривой эффективности ионизации имеется тонкая  
структура, связанная с ионизацией Cd как через об-  
разование отрицат. иона, так и через метастабильные  
состояния нейтрального атома. Отмечается, что такая  
тонкая структура не может быть обнаружена в экспе-  
риментах по фотопоглощению или фотоионизации.

И. Ю. С.

4. 1981 N 8

1981

Cd  
(Ei) 95: 70221h Alignment of the metastable state of cadmium(Cd I) in a gas discharge. Atadzhyan, M. R.; Kotlikov, E. N.; Chaika, M. P. (USSR). *Opt. Spektrosk.* 1981, 50(5), S17-19 (Russ). The dependence on the magnetic field of the light intensity of a electrodeless Cd lamp, passing through a discharge tube, was studied at 467.8, 480.0, and 508.6 nm, which correspond to the transitions  $5^3P_{0,1,2} \rightarrow 6^3S_1$ . A signal was not obsd. at 467.8 nm ( $5^3P_0 \rightarrow 6^3S_1$ ) during passage of the light whereas signals at 480.0 and 508.6 nm were obsd. The atom in the  $5^3P_0$  state is spherically sym. and does not have alignment. The absence of the signal at 467.8 nm confirms the correlation between the obsd. signals and alignment. Capture of radiation by the  $5^1S_0 \rightarrow 5^3P_1$  transition aligns the  $5^3P_1$  level and by collisions radiation is captured by the metastable  $5^3P_2$  level.

CA 1981, 95, N8

Cd (I)      Omnuck 13292      1981

Frasinski L., Dohnalik T.,

Z. Phys. B: Atom. and Mol.  
Phys., 1981, 14, N21, 711-714.

Cd I

1981

4 Д420. Переходы в последовательности кадмия.  
Transitions in the cadmium sequence. Hibbert A.  
«Nucl. Instrum. and Meth. Phys. Res.», 1982, 202,  
№ 1—2: Fast Ion Beam Spectrosc., Proc. 6 Int. Conf.,  
Québec, Aug. 17—20, 1981, 323—327. Discuss., 327  
(англ.)

Вычислены силы осцилляторов ( $f$ ) переходов  
 $5s^{21}S_0 - 5s5p^{1,3}P_1$  в ионах изоэлектронной последова-  
тельности кадмия: Cd I, In II, J VI и Xe VII. В воли-  
ф-циях состояний учтен эффект взаимодействия конфи-  
гураций для валентных электронов. Полученные теоретич.  
значения  $f$  для интеркомбинационных переходов  
близко согласуются с эксперим. данными, в случае раз-  
решенных переходов в ионах J VI и Xe VII теоретич.  
значения  $f$  приблизительно в 2 раза меньше измерен-  
ных экспериментально. Это рассогласование значитель-  
но уменьшается при полуэмпирич. коррекции результа-  
тов расчета. Коррекция заключается в учете взаимо-  
действия валентных электронов с электронами  
внутренних оболочек и включении в расчет эксперим.  
значений расщеплений уровней. Библ. 23. С. Ч.

переходы в  
последовательности

18  
73

Ф. 1983, 18, N 4

Cd

Lemireck 12383

1981

Ser K. D., et al.

(Ae)

J. Chem. Phys, 1981,  
75 (2), 1037 - 1038.

Cd

1981

Sir'ko G.V.

Chisl. Metody Mekh.

mechanism.,  
kib. mech.  
pacrui.

Splosh. Sredy, (Novosibirsk) 1981, 12 (1), 121-130.

(citr. Al; ii)

Cd

1982

Das et. al.

пакетом Int. J. Quantum. Chem.,  
опубликованы в 1982, № 21, N 5, 845-;  
Keppler et al. 1982, 21, N 5, 845-;  
Chase. - 849.

(см. Zn; III)

Cd

Ummuck 13993

1982

Davis D. W.,

Chem. Phys. Lett.,

Croguenbo  
Kupromony,

1982, 87, N.Y., 353-356.

Ap ~~AA~~



Cd

1982

Hitchcock A.P.

J. Electron. Spectrosc.  
and Relat. Phenom.,  
1982, 25, N2-3, 245-275.



(see. Ar; III)

зверей  
богомильев.

Cd

1983

Carlson K. Douglas,  
Rauch E.G.

abmo-  
lecular-  
zaurus

High Temp. Sci., 1983,  
16, N 5, 341-357.

(cer. Hg;  $\text{III}$ )

Cd

1983

20 Б1336. Измерение излучательных времен жизни триплетных уровней атомов кадмия методом лазерной спектроскопии с разрешением по времени. Mesure de durees de vie radiatives de niveaux de triplet du cadmium par spectroscopie laser resolue dans le temps. Chantepie M., Cojan J. L., Landais J., Laniercet B., Moudden A., Autag M. «Opt. Commun.», 1983, 46, № 2, 93—96 (фр.; рез. англ.)

Методом лазерной спектроскопии с разрешением по времени измерены излучательные времена жизни  $\tau_r$  атомов Cd в состояниях  $(5snd)$   ${}^3D_{1,2,3}$  и  $(5sns)$   ${}^3S_1$  ( $n \leq 12$ ), к-рые возбуждали в двухфотонном процессе: 1) путем облучения светом 3260 Å резонансной Cd-лампы часть атомов Cd из основного состояния  ${}^1S_0$  переводили в возбужденное состояние  ${}^3P_1$ ; 2) при помощи перестраиваемого импульсного лазера на красителе в области длин волн 2500—2300 Å производили селективное возбуждение исследуемых состояний. Получены след. значения  $\tau_r$  (нс):  $8 {}^3S_1$   $51 \pm 2$ ;  $9 {}^3S_1$   $85 \pm 5,5$ ;  $10 {}^3S_1$   $171 \pm 2$ ; состояния  $n$   ${}^3D_3$  (величины  $n$

вероятность  
переходов

X.1983; 19, № 20

даны в скобках)  $18 \pm 0,5$  (6);  $31,9 \pm 0,8$  (7);  $54 \pm 1,5$  (8);  $91 \pm 4$  (9);  $137 \pm 15$  (10);  $166 \pm 20$  (11);  $313 \pm 40$  (12);  $6^3D_2$   $17 \pm 0,5$ ;  $6^3D_1$   $15,3 \pm 0,5$ ;  $7^3D_2$   $31,5 \pm 0,8$ ;  $7^3D_1$   $31,5 \pm 0,8$ ;  $8^3D_2$   $55,5 \pm 1,5$ ;  $8^3D_1$   $48 \pm 5$ . Показано, что для уровней  $5snd\ ^3D_3$  и  $5sns\ ^3D_1$  выполняется зависимость  $\tau_r \sim n^{*3}$ , где  $n^*$  — эффективное квантовое число, характерная для невозмущенных ридберговских состояний водородоподобных атомов. Согласно лит. данным, эта зависимость не выполняется для слабо возбужденных серий  $^1S_0$  и  $^1D_2$ , к-рые испытывают возмущение вследствие взаимодействия с уровнями  $5p^2\ ^1S_0$  и  $5p^2\ ^1D_2$  соотв. Найденные значения  $\tau_r$  и их зависимости от  $n^*$  сопоставлены с результатами теор. расчетов. В. Е. Скурат

расч  
НС

Cd

1983

беродимность  
переходов

10 Д394. Измерение радиационных времен жизни триплетных состояний кадмия с помощью лазерной спектроскопии с временным разрешением. Mesure de durées de vie radiatives de niveaux de triplet du cadmium par spectroscopie laser résolue dans le temps. Chantepie M., Coajan J. L., Landais J., Lanierce B., Moudden A., Aymar M. «Opt. Commun.», 1983, 46, № 2, 93—96 (фр.; рез. англ.)

Измерены времена жизни  $\tau$  состояний  $5snd^3D_{1,2,3}$  и  $5sns^3S_1$ , ( $n \leq 12$ ) в атомах Cd. Возбуждение исследуемых состояний осуществлялось импульсным излучением перестраиваемого лазера на красителе с уровня  $5^3P_1$ , заселяемого в электрич. разряде. Значения  $\tau$  определялись по временному изменению интенсивности наведенной флуоресценции, относит. точность измерений  $\sim 5\text{--}10\%$ .  
С. Ч.

90. 1983, 18, N 10

Cd

(Y Kuznetsova)

1983

Козлов М. Г.,

Печати новоизданных  
издательских отраслей  
в Бакинском университе-  
тете.

Печать  
нов.

в Узб

Месяці зокнагод XIX Всесо-  
юзного Съезда по печати-  
рованию, Ташкент, 1983.

Cd

1983

Partridge Harry,  
Bauschlicher Charles  
(act. nocev., W. Jr., et al.

T, He) J. Chem. Phys., 1983,  
79, N.Y., 1866-1873.

(Cet. Naz.; III)

Cd I

[Om. 21946]

1984

Czuchaj E, Sienkiewicz J,

Clipper

Oegstgea-

Kemppa

J. Phys. B: Atom. and Mol.  
Phys., 1984, 17, 2251-2267.

Cd

1984

Kankere D.C., Sohoni G.S.,  
et al.

pacem Phys. Lett., 1984, A100,  
auoresc. N4, 204-206.  
nocturn.

(act. Na; III)

$\text{Cd}^+$

DM. 19392

1984

Knight L.B. Jr., Miller P.K.;  
et al.,

checkmp  
<sup>b</sup>

wampuye J. Chem. Phys., 1984,  
80, N10, 4587-4592.

Cd(I)

[Mn: 20.003]

1984

Martin N. L. S., Ross K. J.,

crkmp

J. Phys. B: Atom. and  
Mol. Phys., 1984, 17, N<sup>19</sup>,  
4033 - 4040.

Cd

1984

Robles Juvencio, Bartolotti  
Libero J.

Ae, pacrem

y, greekmpo-  
ompuswan.

J. Amer. Chem. Soc.,  
1984, 106, n/3, 3723 -  
-3727.



(cer. Os; III)

Cd

1984

Ta Van T.

ceremue „Rev. phys. appl.” 1984,  
convezasue 19, N5, 403 - 408.

(ces. Zn; III)

Cd

Om. 29472 1987

1 Л84. Сравнительное изучение полос поглощения 2125 Å Cd и 1692 Å Hg. Определения потенциалов возбужденных состояний и сил осцилляторов. Comparative study of the 2125 Å Cd and 1692 Å Hg absorption bands. Excited-state potentials and oscillator strength determinations. Bousquet C. «J. Phys. B: Atom. and Mol. Phys.», 1987, 20, № 10, 2217—2230 (англ.)

Исследована температурная зависимость профилей полос поглощения ртути 1692 Å и кадмия 2125 Å и интерпретирована в рамках квазистатич. теории. Полосы поглощения в ртути интерпретирована как переходы, оканчивающиеся на ридберговском возбужденном состоянии  ${}^1\Sigma_u^+$ , возникающем из  $Hg({}^1S_0) - Hg({}^6S_c)$ . Сила осциллятора перехода найдена лежащей в интервале от 3,2 до 3,5 Å. В случае кадмия показано, что исследованная полоса является суперпозицией двух неразрешенных полос поглощения, оканчивающихся на

( $\varepsilon_i$ )

(II)  
D

cb. 1988, 18, N1



Hg ( $\varepsilon_i$ )

ридберговских состояниях  $^3\Sigma_u^+$  и  $^1\Sigma_u^+$ , возникающих соответственно и  $\text{Cd}(6^3S_1)-\text{Cd}(5^1S_0)$  и  $\text{Cd}(6^1S_0)-\text{Cd}(5^1S_0)$ , силы осцилляторов для которых лежат между 2,4 и 3,5 Å и 2,2—4 Å. Поскольку в обоих атомах известна потенц. кривая основного состояния, в обоих случаях найдены потенциальные энергетич. кривые возбужденных состояний.

А. Н. Рябцев

пощь

Cd

1989

112: 128210s Direct measurement of absorption spectra in Cd vapor utilizing 780 nm band AlGaAs semiconductor lasers. Sasaki, Wakao; Sakata, Katsuya; Ohta, Tatehisa (Dep. Electron., Doshisha Univ., Kyoto, Japan). *Sci. Eng. Rev. Doshisha Univ.* 1989, 30(3), 225-34 (Eng). Large isotope shifts in the Cd I ( $10p^3 P_{0,1,2} - 16s^3 S_1$ ) and the Cd II ( $9d^2 D_{2/2} - 5p^{1/2}P_{3/2}$ ) lines in the hollow cathode discharge plasma were directly measured. In the case of the 789.79 nm line for Cd I, the isotope shift was estd. to be about 2 GHz between the adjacent isotope spectra. The origin of such a large shift was interpreted as an involvement of s-electron in the absorption transition. A Comparison of the numerical simulation using Voigt profile composed of the Doppler and the pressure broadening profile functions, with the obsd. absorption spectrum enabled a pressure broadening factor  $\sigma_b$  and a shift-effective cross section  $\sigma_s$  to be estd. as  $2.4 \times 10^{-13} \text{ cm}^2$  and  $2.4 \times 10^{13} \text{ cm}^2$ , resp. Absorption spectrum of the 782.64 nm line for Cd II was also successfully reproduced by taking  $\sigma_b = 1.2 \times 10^{-13} \text{ cm}^2$  and  $\sigma_s = 3.5 \times 10^{-13} \text{ cm}^2$ . H. Ueba

check my

c.a. 1990, 112, n14

Cd

1992

117: 222399k The 5p6s autoionizing levels of cadmium. Martin, N. L. S.; Wilson, M. (Dep. Phys. Astron., Univ. Kentucky, Lexington, KY 40506-0055 USA). *J. Phys. B: At., Mol. Opt. Phys.* 1992, 25(18), L463-L466 (Eng). The authors show how photoelectron angular distribution ( $\beta$  parameter) measurements in Cd reveal the existence of an autoionizing level that cannot be seen in the photoabsorption spectrum. Ab initio 5p6s configuration parameters are used in a new calcn. of  $\beta$  in the 4d<sup>2</sup>5s<sup>2</sup>5p  $^3P_1$  resonance region. Good agreement between theory and expt. enables the assignment of 5p6s  $^3P_1$  and  $^1P_1$ .

( $5p\ 6s\ ^3P_1, ^1P_1$ )

C.A. 1992, 117, N22

Cd I

1996

125: 259775w Relative and absolute dipole oscillator strengths in the  $5s^2 1S_1 \rightarrow 5snp^1P_1$  Rydberg series of Cd I. Ahmad, I.; Griesmann, U.; Martin, I.; Sussa, W.; Baig, M. A.; Hormes, J. (Physikalisch-technische Inst Univ. Bonn, D-53115 Bonn, Germany). *J. Phys. B: At., Mol. Opt. Phys.* 1996, 29(14), 2963–2972 (Eng). Relative dipole oscillator strengths for the transitions  $5s^2 1S_n \rightarrow 5snp^1P_1$  ( $8 \leq n \leq 13$ ) in Cd were measured using magneto-optical rotation spectroscopy in the vacuum UV. The uncertainty in the relative oscillator strengths is 3%. Abs. oscillator strengths were detd. from the known oscillator strength of the  $5s \rightarrow 11p$  transition. Exptl. results agree with quantum defect orbital calcns. which were carried out for transitions in the principal series in Cd up to  $5s - 32p$ . A value of  $4 \pm 2$  Mb for the total photoionization cross section at the ionization threshold is proposed.

Chela Ogyenme  
Topa,  
Puffen.  
Cepuu



C. A. 1996, 125, N 20

Cd

1996

125: 207056t Observations and theoretical analysis of highly excited singlet and triplet states of cadmium. Vidolova-Angelova, E.; Baharis, C.; Roupakas, G.; Kompitsas, M. (Inst. Solid State Physics, Academy Sciences, 1784 Sofia, Bulg.). *J. Phys. B: At., Mol. Opt. Phys.* 1996, 29(12), 2453-2472 (Eng). The  $5\text{snp}$   ${}^3\text{P}_J^0$  ( $n = 7-50$ ) bound Rydberg spectrum of Cd was recorded. The multiplet was resolved fully up to  $n = 19$  and partially up to  $n = 24$ . The odd singlet and triplet  $5\text{snf}$  Rydberg series was obsd. for  $n = 10-22$  and  $n = 4-21$ , resp. The 2- and 3-step laser schemes were applied to excite Cd vapor in a heat pipe-like oven which was operated as a thermionic diode for detection. Theor. calcns. were performed for the energies of the  $5\text{snp}$  and  $5\text{snf}$  series using perturbation theory with a zero-order model approxn. There is agreement between theor. and exptl. results for the  $5\text{snp}$  series, the deviation decreasing with  $n$  and being  $1-2 \text{ cm}^{-1}$  for  $n = 50$ . The agreement for the  $5\text{snf}$  is satisfactory. From the quantum defect of the  $5\text{snf}$  series a value of the effective dipole polarizability of  $\text{Cd}^+$  was approximated of  $19 \text{ } a_0^3$  in units of the Bohr radius.

(Ei)

C.A. 1996, 125; N/6

1999

F: Cd

P: 3

131:248532 Ionization potentials of Zn, Cd, Hg and dipole polarizabilitie  $Zn^+$ ,  $Cd^+$ ,  $Hg^+$ : correlation and relativistic effects. Ilias, M.; Neogradý, Faculty of Natural Sciences, Department of Physical Chemistry, Comenius University Bratislava SK-84215, Slovakia

Chem. Phys. Lett., 309(5,6), 441 (English) 1999

The ionization potentials (IPs) of the group IIB metals and the elec. dipole polarizabilities of their pos. charged ions were calcd. using the relativistic

one-component spin averaged Douglas-Kroll (DK) no pair appro combined with the CCSD(T) treatment of the electron correlation. Ionizat potentials 9.393 (9.394) eV for Zn and 8.941 (8.993) eV for Cd agree with values (in parentheses) excellently and the IP for Hg, 10.362 (10.437) eV with expt. reasonably well. The three factors that can affect the accura i.e. basis set effects, electron correlation and relativistic effects, we carefully examd.